

## افزایش دقت در طبقه‌بندی کاربری و پوشش اراضی مبتنی بر شاخص‌های قابل استخراج از واریوگرام در تصاویر ماهواره‌ای

عباس علیمحمدی<sup>۱\*</sup>، حمید عیسی‌وی<sup>۲</sup>، جلال کرمی<sup>۳</sup>

- ۱- دانشیار مهندسی GIS، دانشگاه صنعتی خواجه نصیرالدین طوسی، تهران، ایران  
۲- دانشجوی کارشناسی ارشد سنجش از دور و GIS، دانشگاه تربیت مدرس، تهران، ایران  
۳- جلال کرمی، دانشجوی دکتری مهندسی GIS، دانشگاه صنعتی خواجه نصیرالدین طوسی، تهران، ایران

دریافت: 89/10/18 پذیرش: 90/3/30

### چکیده

در طبقه‌بندی تصاویر، از اطلاعات بافت و واریانس استفاده شده؛ ولی اطلاعات قابل استخراج از واریوگرام کمتر به کار رفته و به تغییرات زمانی واریوگرام کمتر توجه شده است. در این تحقیق، برای تهیه نقشه کاربری و پوشش اراضی منطقه دهگلان واقع در استان کرمانشاه، از تصاویر چندزمانه ASTER و SPOT استفاده شده است. مجموعه‌ای از شاخص‌های استخراج شده از واریوگرام معروفی، و پاره‌ای شاخص جدید استخراج شده و روش SVM<sup>۱</sup> برای طبقه‌بندی به کار رفته است. به‌طور کلی، این تحقیق در دو مرحله انجام شده است: ۱- طبقه‌بندی باندهای طیفی؛ ۲- طبقه‌بندی باندهای طیفی به همراه پارامترهای استخراج شده از واریوگرام. پس از ارزیابی دقت و مقایسه آن‌ها، شاخص‌های مناسب معروفی شده است. بعضی از شاخص‌ها باعث افزایش دقت اکثر کلاس‌ها می‌شوند و برخی از آن‌ها هم در بعضی کلاس‌ها بی‌تأثیرند که این‌ها را می‌توان شاخص‌های عمومی قلمداد کرد. برخی از شاخص‌ها نیز باعث افزایش دقت برخی کلاس‌ها و کاهش دقت برخی دیگر از آن‌ها می‌شوند که به آن‌ها شاخص‌های تخصصی می‌گویند. بررسی‌ها نشان می‌دهند هنگام استفاده از شاخص‌های استخراج شده از واریوگرام، دقت کلی حدود ۴ درصد و دقت در برخی از کلاس‌ها بیش از ۹ درصد افزایش می‌یابد و دقت کلی از 98/88 درصد به 92/744 می‌رسد.

واژه‌های کلیدی: کاربری و پوشش اراضی، طبقه‌بندی، SVM، واریوگرام، شاخص، ارزیابی دقت.

E-mail: alimoh\_abb@yahoo.com

\*نویسنده مسئول مقاله:

1. support vector machine

## ۱- مقدمه

داده‌های سنجش از دور منبع مهمی از اطلاعات برای تهیه نقشه‌های موضوعی از جمله کاربری و پوشش اراضی و کشاورزی است. نحوه عمل در اکثر الگوریتم‌های طبقه‌بندی متداول در سنجش از دور، بر اساس ویژگی‌ها و اطلاعات طیفی پیکسل‌هاست. این مسئله باعث نایده گرفتن مقدار زیادی از اطلاعات فضایی موجود در تصویر می‌شود. در مواردی، از اطلاعات بافت و واریانس استفاده شده؛ ولی اطلاعات موجود و قابل استخراج از واریوگرام کمتر به کار رفته است. یکی از اهداف زمین آمار این است که توصیف‌های کمی برای متغیرهای توزیع شده در مکان و زمان را فراهم کند (Chile & Delfiner, 1999). در سنجش از دور، از واریوگرام برای بررسی ساختار مکانی تصاویر استفاده شده است (Balaguer et al., 2010).

ولین کاربرد بافت در داده‌های تصاویر سنجش از دور را هارالیک<sup>1</sup> و همکاران (1973) منتشر کردند. آن‌ها در مقاله خود ماتریس grey level co-occurrence (GLC) را پیشنهاد کردند. مالینیس<sup>2</sup> و همکاران (2008) در شمال یونان برای مشخص کردن پلیگون‌های جنگلی در سایت‌های آزمایشی، از روش طبقه‌بندی شیء‌گرا استفاده کردند. آن‌ها تصاویر سنجنده quickbird و الگوریتم‌های بافت (GLCM) را برای طبقه‌بندی نزدیک‌ترین همسایه به کار برداشتند. هنگامی که اطلاعات بافت تصویر در طبقه‌بندی استفاده شد، هرچند دقت از ۸۰ درصد تجاوز نکرد، بهترین نتیجه حاصل شد. آگوثر<sup>3</sup> و همکاران (2008) برای بهبود طبقه‌بندی خود به‌منظور تهیه نقشه گلخانه‌های پلاستیکی، از مشخصات بافت استفاده کردند. این محققان از تصاویر با قدرت تفکیک مکانی بالا مانند ikonos و quickbird استفاده کردند. هدف این مطالعه، مقایسه تصاویر QB و ikonos در تهیه نقشه پوشش زمین بود. مورای<sup>4</sup> و همکاران (2010) با استفاده از تصاویر ikonos، اجتماعات گیاهی جزیره Heard در نزدیکی قطب جنوب را طبقه‌بندی کردند و بر اندازه‌گیری ویژگی‌های بافت به منظور بهبود طبقه‌بندی تمرکز داشتند. سه نوع طبقه‌بندی با هم مقایسه شد: ۱- طبقه‌بندی چندطیفی باندهای تصویر؛ ۲- طبقه‌بندی ویژگی‌های بافت؛ ۳- طبقه‌بندی ترکیب بافت و باندهای تصویر. آن‌ها در

1. Haralick

2. Mallinis

3. Aguera

4. Murray

پژوهش خود از ماتریس و قوع تؤام استفاده کردند و اندازه پنجره را در دقت کار مورد بررسی قرار دادند. سرانجام، در ترکیب کار خود به نسبت استفاده از باندهای طیفی بهنهایی، به دقت بالایی دست یافتند و دقت طبقه‌بندی را با استفاده از الگوریتم‌های بافت به میزان ۶ درصد افزایش دادند (Murray<sup>a</sup> et al., 2010).

اتکینسون<sup>۱</sup> و همکاران (1999) در پژوهش خود، بر لزوم استفاده از اطلاعات مکانی همراه با اطلاعات طیفی برای طبقه‌بندی تصاویر تأکید کردند و روش‌های ساده فیلتر کردن تصویر و واریانس را برای بهدست آوردن بافت به کار برداشتند. در این تحقیق، تأکید آنها بر واریوگرام به عنوان میزانی برای بافت بود. جکوموسکا<sup>۲</sup> و همکاران (2001) با استفاده از داده‌های سنجنده‌های با قدرت تفکیک مکانی بالا، تأثیر مشخصه‌های بافت استخراج شده از واریوگرام در طبقه‌بندی را بررسی کردند و مطالعات خود را روی کوه‌های Sauta Honica با پوشش گیاهی چاپارال انجام دادند. بعد از استخراج ویژگی‌های بافت مربوط به واریوگرام، تصاویر به دقت طبقه‌بندی شده با هم مقایسه شدند. بر اساس این مقایسه، دقت نهایی حدود ۱۵ درصد افزایش یافته است، دقت در کلاس‌های همگن تغییر نکرده و افزایش دقت در کلاس‌های ناهمگن بوده است. کوهن<sup>۳</sup> و همکاران (2003) برای استخراج اطلاعات ذاتی مکانی از ویژگی‌های واریوگرام استفاده کردند. آنها از اندازه پیکسل‌های ۳۰، ۱۰ و ۱ متر استفاده کردند. در اندازه پیکسل ۱ متر، واریوگرام به میانگین اندازه‌های تاج پوشش بستگی دارد. در تاج پوشش موجود هم، مقدار حد آستانه<sup>۴</sup> به لایه‌بندی‌های عمودی درختان حساسیت نشان می‌دهد و موقعیت آن تغییر می‌کند. واریوگرام موجود در پیکسل‌های ۱۰ و ۳۰ متری به مرتب اطلاعات کمتری را شامل می‌شوند. در نهایت، شکل و مکان آستانه واریوگرام‌های بهدست آمده در فواصل مختلف با هم مقایسه شدند.

بربراقلو<sup>۵</sup> و همکاران (2006) با استفاده از دو روش MLC<sup>۶</sup> و ANN<sup>۷</sup> و داده‌های سال ۱۹۹۳ سنجنده TM، مناطق شهری، کشاورزی و نیمه‌طبیعی Cukurava را در ترکیب طبقه‌بندی

1. Atkinson

2. Jakomuska

3. Cohen

4. sill

5. Berberoglu

6. maximum likelihood classification

7. artificial neural network

کردند. ورودی آن‌ها داده‌های طیفی و اطلاعات طیفی ترکیب شده با اطلاعات بافت بود. اطلاعات طیفی شامل واریانس و آماره‌های استخراج شده از ماتریس وقوع توأم و واریوگرام بود. بربر او قلو و همکاران (2010) از مشخصات بافت برای طبقه‌بندی شیء‌گرا استفاده کردند؛ به این صورت که با محاسبه واریوگرام و واریانس و GLCM و ارزیابی آن‌ها، این مشخصات را با هم مقایسه کردند و با ارائه مشخصاتی که از واریوگرام و واریانس بدست آوردند، از شاخص‌های DMS، FDL، RMM، RSF، RVF، AFM، MFM، FDO، VFM اساس یافته‌های این پژوهش، استفاده از شاخص‌های استخراج شده از واریوگرام نتایج بهتری نسبت به ماتریس وقوع توأم و داده‌های خام واریوگرام بدست می‌آورد (Balaguer et al., 2010).

با توجه به آنچه گفته شد، در طبقه‌بندی تصاویر از مشخصه‌های واریوگرام در موارد کمی استفاده شده است و همچنین به تغییرات زمانی و واریوگرام مربوط به این تغییرات توجهی نشده است؛ در حالی که تغییرات زمانی برای تهیه نقشه کاربری و پوشش زمین به ویژه پوشش گیاهی از اهمیت بالایی برخوردار است و واریوگرام زمانی به توجه بیشتری نیاز دارد.

مهم‌ترین اهداف این تحقیق به شرح زیر است:

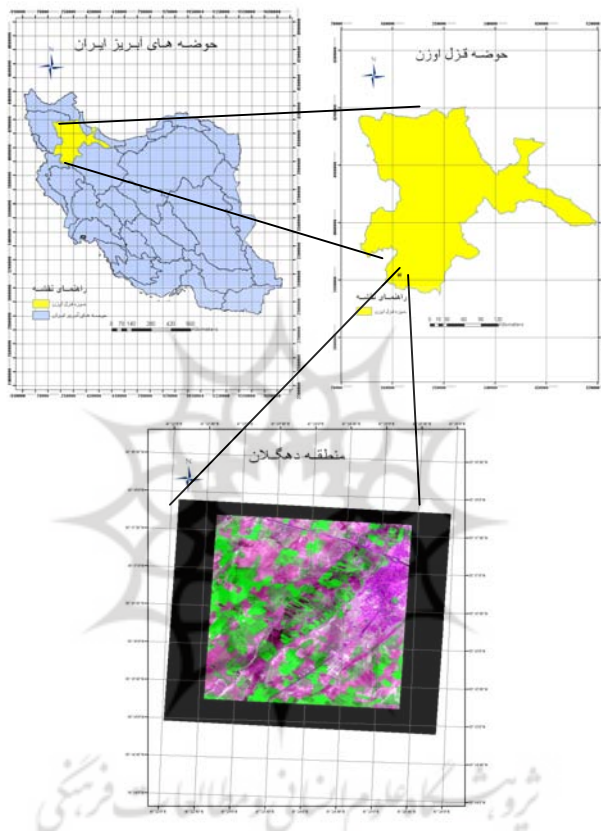
- 1- معرفی چند شاخص استخراج شده از واریوگرام و استخراج شاخص‌های جدید؛
- 2- ارزیابی تأثیر شاخص‌های استخراج شده از واریوگرام در طبقه‌بندی کاربری و پوشش اراضی؛
- 3- معرفی شاخص‌های مناسب.

## 2- مواد و روش‌های تحقیق

### 2-1- منطقه مورد مطالعه

رودخانه قزل‌اوزن یکی از طولانی‌ترین رودخانه‌های ایران است که پس از گذر از استان‌های متعدد و نیز پیوستن رودخانه‌هایی از مناطق مختلف و سرانجام پیوستن به شهرور، به دریاچه خزر می‌ریزد. دهگلان (شکل 1) یکی از شهرستان‌های استان کردستان و قسمتی از حوضه قزل‌اوزن را تشکیل می‌دهد که در منطقه‌ای به نسبت کوهستانی واقع شده و دارای اراضی حاصل‌خیزی است. در نواحی کوهستانی و دشت‌های مرتفع، دارای آب و هوای معبدل خشک با زمستان‌های بسیار سرد است. کاربری و پوشش فعلی در منطقه، شامل مجتمع‌های درختی و

باغات، مزارع کشاورزی، مناطق مسکونی، رودخانه و خطوط ارتباطی است و مزارع کشاورزی بیشترین مساحت را به خود اختصاص می‌دهد.



شکل ۱ موقعیت جغرافیایی منطقه مورد مطالعه

## 2-2- داده‌ها و مواد مورد استفاده و آماده‌سازی آن‌ها

### 2-2-1- تصاویر ماهواره‌ای

در این مطالعه، باندهای سبز، قرمز و مادون قرمز نزدیک مربوط به دو زمان سنجنده ۵ SPOT مورد استفاده قرار گرفتند که با استفاده از روش ترکیب مبتنی بر تبدیل مؤلفه‌های اصلی توسط

باند پانکروماتیک به باندهایی با قدرت تفکیک مکانی 5 متر تبدیل شدند. همچنین، داده‌های 3 باند مربوط به دو زمان سنجنده VNIR ماهواره ASTER نیز به کار رفتند (جدول 1).

**جدول 1** مشخصات تصاویر ماهواره‌ای مورد استفاده

Satellite	SPOT 5	date	ASTER	date
Spectral Bands (Spatial Resolution)	1PAN (5m) 3 MS (10 m)	T1= 88/3/8 T2= 88/4/8	VNIR(15m)	T1= 88/5/3 T2= 88/5/19

## 2-2-2- پیش‌پردازش تصاویر

برای کاهش آثار اتمسفری، از فرمان FLASSH<sup>1</sup> موجود در نرم‌افزار ENVI4.3 استفاده شد. با استفاده از معادلات چندجمله‌ای درجه 2، روش نزدیکترین همسایه برای بازنویسی و برداشت 20 نقطه کنترل از نقشه 1/25000 به عنوان نقشه مبنای تصاویر زمین مرجع شدند و مقدار خطأ به طور متوسط 0/29 اندازه پیکسل (متر) محاسبه شد.

## 2-2-3- شاخص‌های گیاهی

با توجه به اینکه ملاک اصلی کار و انجام تحقیق تصاویر SPOT دوزمانه است، شاخص NDVI مربوط به زمان اول و دوم تصاویر SPOT با استفاده از باندهای 2 و 3 به شرح زیر محاسبه شد.

$$NDVI = \frac{(Spot_3 - Spot_2)}{(Spot_3 + Spot_2)}$$

## 2-2-4- تجزیه و تحلیل مؤلفه‌های اصلی

برای حذف همبستگی بین باندهای مختلف و همچنین فشرده‌سازی و جلوگیری از افزونگی مجموعه‌داده‌ها، از تجزیه و تحلیل مؤلفه‌های اصلی استفاده شد. بر اساس این، بر روی داده‌های

1. fast line-of-sight atmospheric analysis of spectral hypercube

دوزمانه SPOT<sup>۱</sup> به طور جداگانه اجرا شد و برای محاسبه سایر پارامترها مورد نیاز از مؤلفه‌های اول تصاویر دوزمانه استفاده شد.

### 3-3- استخراج شاخص‌ها از واریوگرام

#### 3-1- پارامترهای پیشنهادشده در کارهای قبلی (ratio variance-first lag) RVF - 1-1-3-2

نسبت بین واریانس به واریوگرام در اولین گام است. زمانی که واریوگرام به آستانه مجاور واریانس نزدیک می‌شود، این پارامتر یک ارتباط میان همبستگی فضایی در فواصل بلند و کوتاه را نشان می‌دهد و هنگامی که تغییرپذیری در فواصل کوتاه زیاد است، مقدار آن افزایش می‌یابد. همچنین، این خصیصه برای تصاویری با الگوهای تناوبی و قدیمی، مقدار بالای را نشان می‌دهد.

$$RVF = \frac{Variance}{\gamma_1}$$

#### (ratio second-first lags) RSF - 2-1-3-2

این شاخص ارتباط بین مقدار واریوگرام در گام دوم در ارتباط با گام اول را نشان می‌دهد و اطلاعاتی در مورد تغییر در تغییرپذیری اطلاعات در فواصل کوتاه را به دست می‌دهد.

$$RSF = \frac{\gamma_2}{\gamma_1}$$

#### (first derivative near the origin) FDO - 3-1-3-2

این شاخص شبیه واریوگرام در گام اول و دوم، نزدیک مشتق اول مجاور مبدأ را نشان می‌دهد و تغییرات تغییرپذیری اطلاعات در فواصل کوتاه را نمایش می‌دهد (شکل ۲).

$$FDO = \frac{\gamma_2 - \gamma_1}{h}$$

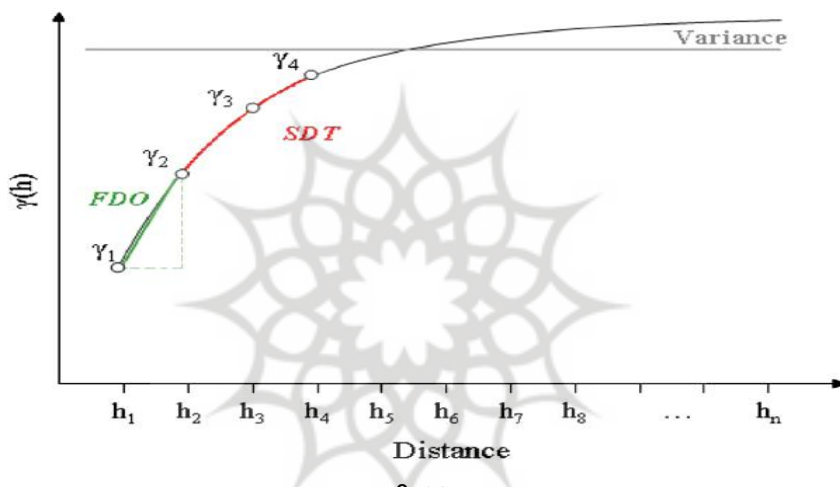
---

1. principle component analyses

#### (second derivative at third lag) SDT - 4-1-3-2

این شاخص مقدار مشتق دوم واریوگرام در گام سوم را نشان می‌دهد و تحدب و تقریر سطح واریوگرام را در فواصل کوتاه (بین دو و چهار پیکسل برای  $h=1$ ) کمی می‌کند. مقدار مثبت یعنی انحنای مقعر (به سمت جلو)؛ یعنی تصویر در فواصل کوتاه همگن است. از سوی دیگر، مقدار منفی نشان می‌دهد واریوگرام محدب است و تصویر در فواصل کوتاه ناهمگن.

$$SDT = \frac{\gamma_4 - 2\gamma_3 + \gamma_2}{h^2}$$



شکل 2

#### (maximum first to mean up) MFM - 5-1-3-2

این شاخص نشان‌دهنده میانگین مقادیر واریوگرام بین گام اول و ماکریم اول است و اطلاعاتی در مورد تغییرات در تغییرپذیری اطلاعات را فراهم می‌کند و با تقریر و تحدب واریوگرام در آن فاصله ارتباط دارد.

$$MFM = \gamma_{Max\_1}^{Mean} = \frac{1}{Max\_1} \sum_{i=1}^{Max\_1-1} \gamma_i$$

### (distance first maximum to first minimum) DMM - 6-1-3-2

این خصیصه با اضافه کردن اطلاعات در مورد فاصله بین ساختارهای تکراری، پارامتر DMS را تکمیل می‌کند (Balaguer et al., 2010).

$$DMM = h_{min\_1} - h_{max\_1}$$

### 2-3-2- پارامترهای پیشنهادشده در این تحقیق (slope of time difference) STD - 1-2-3-2

این شاخص نشان‌دهنده شبیه تغییرات زمانی بین  $t_1$  و  $t_2$  است. هرچه سطح پوشش زمین بین  $t_1$  و  $t_2$  تغییرات زیادی داشته باشد، این شاخص مقدار بالایی را نشان می‌دهد. برای مثال، اگر زمین در زمان  $t_1$  شخم خورده و در زمان  $t_2$  کاشت و سبز شده باشد، STD مقدار بالایی را نشان می‌دهد.

$$STD = \frac{(\gamma_{4t_2} + \gamma_{t_2}) - (\gamma_{4t_1} + \gamma_{t_1})}{h_4 - h_1}$$

### (difference from first maximum to distance) DFD<sub>1</sub> - 2-2-3-2

این پارامتر تفاوت میان واریوگرام در هر گام نسبت به ماکزیمم محلی است و الگوی ساختاری بافت تصویر را نشان می‌دهد و با تغییرپذیری اطلاعات در ارتباط است. مقادیر بالا نشان‌دهنده ناهمگنی و بافت غیریکنواخت است و بر عکس، مقادیر پایین نشان‌دهنده بافت یکنواخت.

### (difference from first minimum to distance) DFD<sub>2</sub> - 3-2-3-2

این خصیصه تفاوت میان واریوگرام در هر گام نسبت به مینیمم محلی است و مکمل DFD<sub>1</sub> است.

$$DFD_2 = \frac{\sum_{i=1}^{i=n} (\gamma_i - \gamma_{min\_1})^2}{(h_i - h_{min\_1})}$$

$$DFD_1 = \frac{\sum_{i=1}^{i=n} (\gamma_i - \gamma_{\max\_1})^2}{(h_i - h_{\max\_1})}$$

#### (total difference first and four lag in time series) TDFT - 4-2-3-2

این شاخص اختلاف های محلی داخل کلاس کاربری را نشان می‌دهد و با حفظ مرزها، ناهمگنی داخلی کلاس را بارزتر می‌کند. برای مثال در باغات، ردیف درخت‌های موجود بارزتر می‌شوند. در جاهایی که اختلاف محلی کم است (برای مثال یونجه) این شاخص مقدار پایینی را نشان می‌دهد.

$$TDFT = \frac{(\gamma_{4t_2} - \gamma_{1t_2}) + (\gamma_{4t_1} - \gamma_{1t_1})}{h_4 - h_1}$$

#### (slope ratio first maximum & minimum in NDVI) SRFN - 5-2-3-2

این شاخص نسبت بین شیب ماکریم محلی اول و مینیمم محلی اول ضرب در NDVI است و تغییرات همگنی و شیب همبستگی فضایی در بین انواع کلاس‌ها و مرزها را نشان می‌دهد.

$$SRFN = \frac{(\gamma_{\min\_1}) \times (h_{\max\_1})}{(\gamma_{\max\_1}) \times (h_{\min\_1})} \times NDVI$$

#### (slope of first minimum & maximum) SFM - 6-2-3-2

این شاخص شیب تغییرات زمانی در مینیمم محلی اول و ماکریم محلی اول را نشان می‌دهد. شیب زیاد نشان‌دهنده تغییرات پوشش سطح زمین و شیب کم نمودار تغییرات کم در فواصل زمانی کوتاه است. این شاخص مکمل شاخص TDT است.

$$SFM = \left( \frac{\gamma_{\min\_1t_2} - \gamma_{\min\_1t_1}}{h_{\min\_1}} \right) + \left( \frac{\gamma_{\max\_1t_2} - \gamma_{\max\_1t_1}}{h_{\max\_1}} \right)$$

#### (ratio four lag in first maximum & minimum) RFF - 7-2-3-2

این شاخص ارتباط بین مقادیر واریوگرام در گام چهارم نسبت به ماکزیمم محلی اول و مینیمم محلی اول است و تغییرات شب در فواصل کوتاه و تغییرپذیری اطلاعات را نشان می‌دهد.

$$RFF = \frac{(\gamma_4 - \gamma_{\min\_1}) \times (h_4 - h_{\max\_1})}{(\gamma_4 - \gamma_{\max\_1}) \times (h_4 - h_{\min\_1})}$$

#### (total difference time lags) TDT - 8-2-3-2

این شاخص تغییرات همبستگی فضایی را در فواصل زمانی  $t_1$  و  $t_2$  نمایان می‌کند و اطلاعاتی را در مورد تغییرات پوشش سطح زمین به دست می‌دهد.

$$TDT = \sum_{i=1}^{i=n} (\gamma_{it_2} - \gamma_{it_1})$$

#### (ratio difference NDVI and first maximum& minimum) RDNF - 9-2-3-2

این خصیصه تفاوت همبستگی فضایی بین کلاس‌ها را آشکار کرده، مرزهای کلاس‌های کاربری را به خوبی جدا می‌کند و عوارض خطی را نمایان‌تر می‌سازد.

$$RDNF = \frac{NDVI - \gamma_{\min\_1}}{NDVI - \gamma_{\max\_1}}$$

برای محاسبه واریوگرام در فواصل (گام‌های) مختلف، در محیط MATLAB برنامه‌نویسی انجام شد و در ۴ گام، واریوگرام مربوط به مؤلفه‌های اول تصاویر دوزمانه به‌طور جدأگانه محاسبه شد.

#### 4-4- تحلیل همبستگی بین پارامترها

برای جلوگیری از افزونگی داده‌ها بین شاخص‌های استخراج شده، تحلیل همبستگی انجام گرفت و همه شاخص‌ها نسبت به هم ارزیابی شدند و ضریب همبستگی همه شاخص‌ها

بدست آمد. شاخص‌هایی که با هم همبستگی بالایی دارند، در طبقه‌بندی اثر نامطلوب می‌گذارند. بنابراین، در ادامه کار برای رفع این مشکل، از تحلیل مؤلفه‌های اصلی استفاده شد و مؤلفه‌های اصلی حاصل از شاخص‌ها در طبقه‌بندی به کار رفت.

## 5-2- طبقه‌بندی

شاخص‌های به دست آمده از واریوگرام اغلب دارای توزیع غیرنرمال هستند و درنتیجه، با استفاده از روش‌های طبقه‌بندی معمول کاربردی ندارند. بنابراین، کاربرد روش‌های غیرپارامتریک می‌تواند مناسب‌تر باشد. الگوریتم SVM بر پایه تئوری یادگیری آماری بنا شده است که توسط بوسر، واپنیک و گایون<sup>1</sup> (1992) ابداع شد. این روش برخلاف غالب روش‌ها، روشنی غیرپارامتریک است. به منظور کمینه کردن میزان خطاهای تعمیم‌یافته، باید میزان خطای آموزش و پیچیدگی طبقه‌بندی کننده کاهش یابد. این کار را می‌توان با بیشینه کردن حاشیه جداسازی انجام داد (حسینی و همکاران، 1388). برای طبقه‌بندی لازم است نقاط آموزشی مناسب انتخاب شود. برای این کار، با استفاده از نقاط برداشت‌شده زمینی، بر روی تصاویر چندزمانه نقاط آموزشی انتخاب و معرفی شدند. در انتخاب نقاط آموزشی، علاوه‌بر نقاط برداشت‌شده زمینی، تغییرات زمانی و تقویم زراعی منطقه نیز ملأک بود. کلاس‌های مورد نظر برای معرفی نقاط آموزشی و طبقه‌بندی شامل گندم آبی، گندم دیم، مناطق مسکونی، جاده‌ها، باغات، نباتات علوفه‌ای، بستر رودخانه، ردیف درخت و زمین‌های آیش هستند. بعد از انتخاب نقاط آموزشی، ابتدا یک طبقه‌بندی روی تصاویر چندزمان ASTER و SPOT انجام شد. در مرحله بعد، برای بررسی تأثیر شاخص‌های استخراج شده در دقت طبقه‌بندی، در هر مرحله یک شاخص به همراه باندهای تصویر در طبقه‌بندی استفاده شد. تمام مؤلفه‌های حاصل از شاخص‌ها نیز در یک طبقه‌بندی همراه اطلاعات طیفی مورد استفاده قرار گرفتند. پس از طبقه‌بندی، دقت تولیدکننده<sup>2</sup> و مصرف کننده<sup>3</sup> هریک از شاخص‌ها در طبقه‌بندی مورد بررسی و ارزیابی قرار گرفت.

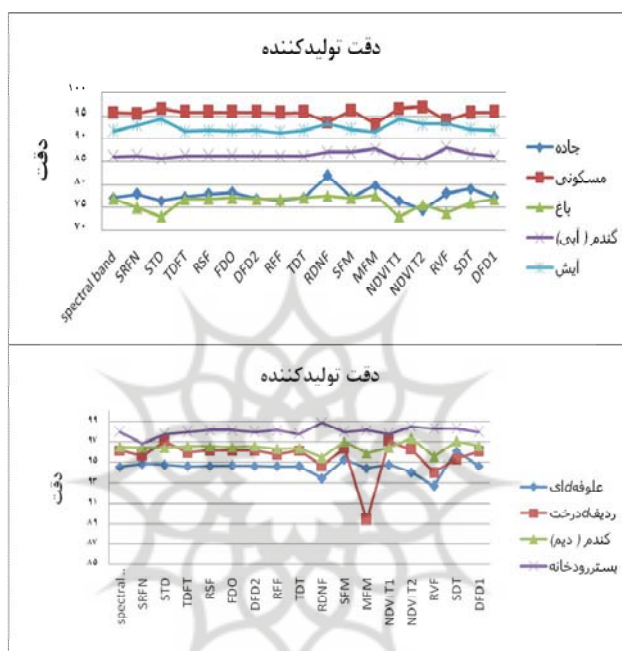
1. Boser, Vapnik & Guyon

2. producer accuracy

3. user accuracy

### 3- نتایج و بحث

تأثیر مشخصات بافت استخراج شده از واریوگرام در دقت طبقه‌بندی هر کدام از کلاس‌ها به‌طور جداگانه در شکل شماره سه نشان داده شده است.

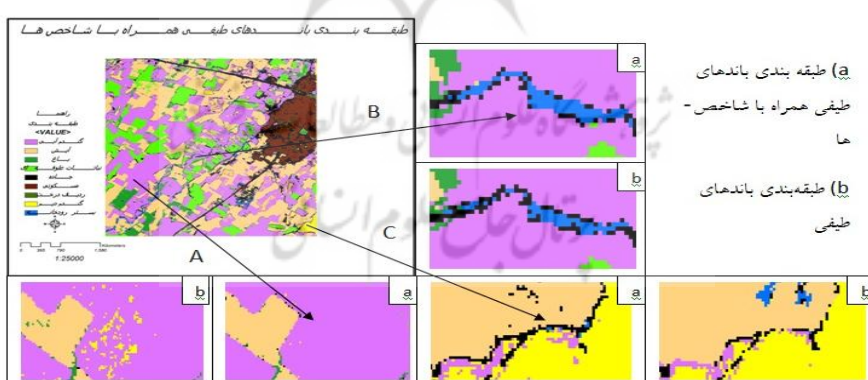


شکل ۳ تأثیر هریک از شاخص‌ها در دقت طبقه‌بندی کلاس‌های کاربری و پوشش اراضی

شاخص‌های FDO و SFM باعث افزایش دقت در غالب کلاس‌ها می‌شوند. بنابراین، آن‌ها را می‌توان به عنوان شاخص‌های عمومی معرفی کرد. شاخص‌های دیگر با افزایش دقت در برخی از کلاس‌ها کمک می‌کنند و به این دلیل می‌توان آن‌ها را جزء شاخص‌های تخصصی در نظر گرفت. کلاس‌هایی که بین زمان  $t_1$  و  $t_2$  تغییرات زیادی می‌کنند، در شاخص SFM مقدار بالایی را نشان می‌دهند و طبیعی است که SFM در کلاس‌های تغییرپذیر تأثیر بیشتری دارد. در کلاس‌های مسکونی، جاده و بستر رودخانه که تغییرات آن در زمان کمتر است، شاخص SFM بی‌تأثیر است. در کلاس‌هایی که در فواصل کوتاه ناهمگنی بالایی دارند،

شاخص FDO مفید است و باعث افزایش دقت در طبقه‌بندی آن‌ها می‌شود. شاخص RFF به صورت کاملاً تخصصی عمل می‌کند و فقط باعث افزایش دقت سه کلاس گندم دیم، علوفه‌ای و بستر رودخانه می‌شود. در شاخص‌های تخصصی دیگر نیز با وجود کاهش دقت در بعضی از کلاس‌ها، دقت کلی افزایش می‌یابد. در بین شاخص‌های معرفی شده، RDNF بهترین بازده را در عوارض خطی نشان می‌دهد و باعث افزایش دقت طبقه‌بندی کلاس‌های جاده و بستر رودخانه می‌شود. شب تغییرات زمانی در کلاس آیش متغیر است و شاخص STD به شب تغییرات زمانی حساس است و نسبت به سایر شاخص‌ها، STD بالاترین دقت طبقه‌بندی در کلاس آیش را نتیجه می‌دهد. در طول سال، باغات مانند نباتات علوفه‌ای (یونجه) سبز هستند؛ اما از لحاظ بافت باهم فرق می‌کنند. باغات به صورت ردیفی کشت می‌شوند و بافت ناهمگن دارند. شاخص MFM با نشان دادن تقریر و تحدب واریوگرام، دقت طبقه‌بندی کلاس باع را بیشتر از سایر شاخص‌ها افزایش می‌دهد.

در مطالعات بالاگوئر<sup>1</sup> و همکاران (2010) شاخص‌های SDT، MFM و RVF نیز به عنوان شاخص‌های مناسب مورد تأیید و استفاده قرار گرفت. شاخص‌های بافت استخراج شده از واریوگرام تأثیر خود را در طبقه‌بندی کاربری و پوشش اراضی در نه کلاس با دقت کلی بالای 92 درصد نشان می‌دهند (شکل 4).



شکل 4 طبقه‌بندی باندهای طبیعی به همراه شاخص‌های واریوگرام و شاخص‌های گیاهی (A) مقایسه کلاس گندم آبی در دو طبقه‌بندی (B) مقایسه کلاس بستر رودخانه در دو طبقه‌بندی (C) مقایسه کلاس بستر رودخانه در دو طبقه‌بندی

1. Balaguer

مقایسه‌ها نشان می‌دهد اغلب خطاها ناشی از حالت گسستگی در کلاس‌های خطی (ستر رودخانه، جاده و...) و همچنین خطای جزیره‌ای و خطای omission، بعد از افزودن شاخص‌ها کاهش می‌یابد. پس از استفاده از اطلاعات واریوگرام در بعضی کلاس‌ها، دقت تولیدکننده کاهش می‌یابد؛ اما اختلاف بین دقت تولیدکننده و دقت مصرف‌کننده نیز کم می‌شود (جدول ۴).

جدول ۴ جدول ارزیابی دقت طبقه‌بندی اطلاعات طیفی و ترکیب اطلاعات طیفی و شاخص‌ها

باندهای طیفی + شاخص‌ها					
کلاس	دقت تولیدکننده	دقت مصرف‌کننده	دقت تولیدکننده	دقت مصرف‌کننده	دقت مصرف‌کننده
گندم آبی	86.14	97.6	92.25	98/33	
آیش	91.78	97.77	95.34	96/79	
باغ	76.93	56.65	75.10	59.89	
نباتات علوفه‌ای	94.55	88.77	94.42	92.19	
جاده	77.19	16.19	86.52	16.16	
مسکونی	95.71	99.62	91.53	99.77	
ردیف درخت	96.13	81.79	75.54	75.38	
گندم دیم	96.5	16.86	95.38	38.98	
بستر رودخانه	97.94	38.01	99.25	44.58	

در شکل شماره پنج دقت کلی شاخص‌ها و باندهای طیفی در طبقه‌بندی کاربری و پوشش زمین با هم مقایسه شده‌اند.



شکل ۵ مقایسه دقت کلی حاصل از باندهای طیفی، شاخص‌ها و ترکیب آن‌ها

#### 4- نتیجه‌گیری

شاخص‌های پیشنهادشده در تفکیک کلاس‌های ناهمگن پتانسیل بالایی دارند و در مورد شکل، شبی و دیگر ویژگی‌های مهم واریوگرام اطلاعات مفیدی را بازگو می‌کنند. مزیت دیگر آن‌ها این است که به سادگی توصیف می‌شوند. از نظر تأثیرپذیری از شاخص‌ها، کلاس آیش وضعیت ویژه‌ای را نشان می‌دهد؛ به گونه‌ای که استفاده از غالب شاخص‌ها باعث افزایش دقت آن‌ها می‌شود. از نظر افزایش دقت کلی، از بین شاخص‌های مورد بررسی، شاخص‌های بررسی‌ها نشان می‌دهد دقت کلی بعد از استفاده از شاخص‌ها حدود 4 درصد افزایش می‌یابد که بیشترین افزایش دقت مربوط به کلاس جاده با افزایش حدود 9 درصد است. بالاترین دقت زمانی به دست می‌آید که همه مؤلفه‌های شاخص‌های استخراج شده از واریوگرام همراه با اطلاعات طیفی به کار می‌روند. بنابراین، پارامترهای استخراج شده از واریوگرام متغیرهای زیادی را شامل می‌شوند و باعث افزایش عملکرد فرایند طبقه‌بندی می‌شوند. برخی از شاخص‌ها نیز می‌توانند در تفکیک اهداف و موارد خاص عملکرد بازده مناسبی داشته باشند. بنابراین، مفید بودن شاخص بسته به هدف یا اهداف طبقه‌بندی و نوع کلاس‌ها و باندهای طیفی مورداستفاده، ممکن است متفاوت باشد.

#### 5- منابع

- حسینی، رضا، سعید همایونی و محمدرضا سراجیان، «طبقه‌بندی تصاویر سنجش از دور فراطیفی به کمک ماشین‌های بردار پشتیبان» در همایش ژئوماتیک، گروه مهندسی نقشه‌برداری، دانشگاه تهران، 1388.
- Aguera, F. J. A. & M. A. Aguilar, "Using texture analysis to improve per-pixel classification of very high resolution images for mapping plastic greenhouses", *ISPRS Journal of Photogrammetry & Remote Sensing*, Pp. 635-646, 2008.

- Atkinson, P. M.\* & P. Lewis, "Geostatistical classification for remote sensing", *an introduction Computers & Geosciences*, Pp. 361-371, 1999.
- Balaguera, A., L. A. Ruizb, T. Hermosillab & J. A. Reciob, "Definition of a comprehensive set o f texture semivariogram features and their evaluation for object-oriented image classification", *Computers & Geosciences*, Pp. 231-240, 2010.
- Berberoglu, S. A\*, P. J. B. Curran, C. D. C. Lloyd & P. M. D. Atkinson, "Texture classification of Mediterranean land cover", *International Journal of Applied Earth Observation and Geoinformation*, No. 9, Pp. 322-334, 2006.
- Chile', S. & J. P. Delfiner, *Geostatistics. Modeling Spatial Uncertainty*, Wiley, NewYork, NY, 1999.
- Haralick, R. M., K. S. Shanmugam & I. Dinstein, "Textural features for image classification", *IEEE Transactions on systems, Man and Cybernetics*, No. 3, Pp. 610-622, 1973.
- Jakomulska, A. & K. C. Clarke, "Variogram-Derived Meausres Of Textural Image Classification", *Geostatistics for Environmental Applications*, Pp. 345-355, 2001.
- Mallinis, G. A., N. Koutsiasb, M. Tsakiri-Stratic & M. Karterisa, "Object-based classification using Quickbird imagery for delineating forest vegetation polygons in a Mediterranean test site", *ISPRS Journal of Photogrammetry & Remote Sensing*, Pp. 237-250, 2008.
- Murray<sup>a</sup>, H. A. L. & R. Williams<sup>c</sup> \*, "Texture-based classification of sub-Antarctic vegetation communities on Heard Island", *International*



*Journal of Applied Earth Observation and Geoinformation*, xxx–xxx,  
2010.

- Warren, B., A. Cohen, A. Thomas, Spiesa and Gay A. Bradshawb,  
Semivariograms of digital imagery for analysis of conifer canopy  
structure, *Remote Sensing of Environment*, Pp. 167-178, 2003.



پژوهشگاه علوم انسانی و مطالعات فرهنگی  
پرستال جامع علوم انسانی